



Alcune applicazioni dell'NMR in stato solido

Adele Mucci

NMR in stato solido



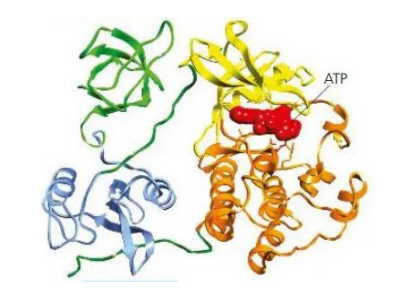
Struttura e dinamica di solidi



- catalizzatori
- vetri
- minerali
- polimeri
- proteine











Angew. Chem. Int. Ed. 2002, 41, 3096-3129

Solid-State NMR Spectroscopic Methods in Chemistry

David D. Laws, Hans-Marcus L. Bitter, and Alexej Jerschow*

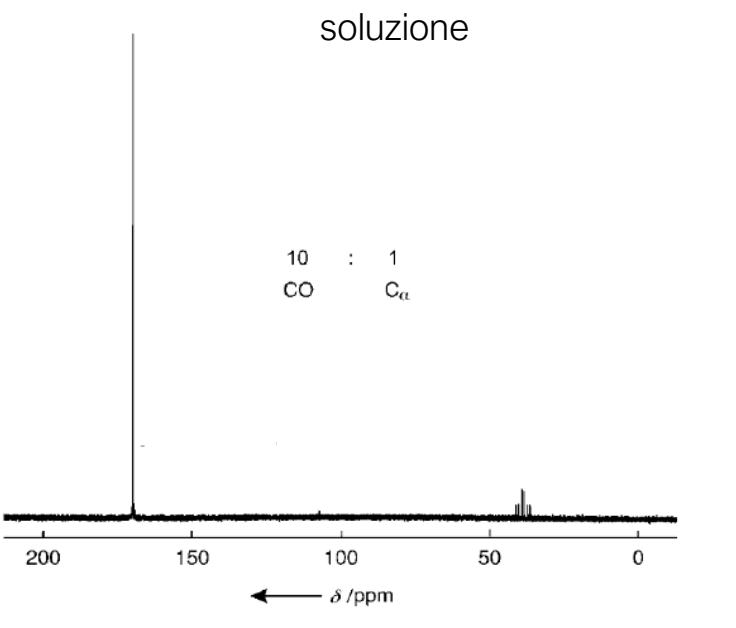
moto molecolare ridotto

Interazione dipolari tra spin (eteronucleari e omonucleari)

Anisotropia di chemical shift

Interazione quadrupolare (spin >1/2)

MAS rate



Rotore Φ_{out} 2.5 mm x ca. 1 cm

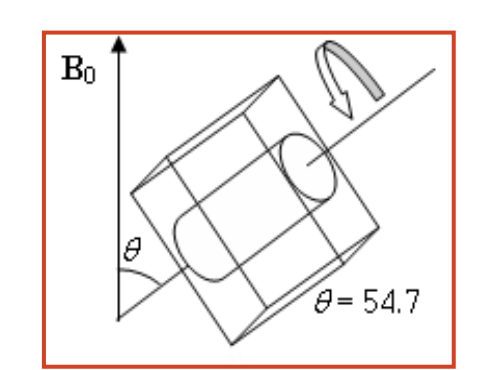
CO 10 : 1

200

300

solido in polvere cristallina

rotazione all'angolo magico





Dipartimento di scienze Chimiche e Geologiche Azzera i termini (3 cos²θ-1) se la velocità di rotazione è abbastanza elevata

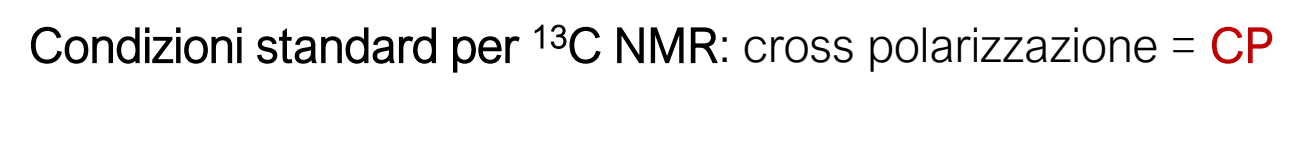
 C_{α}

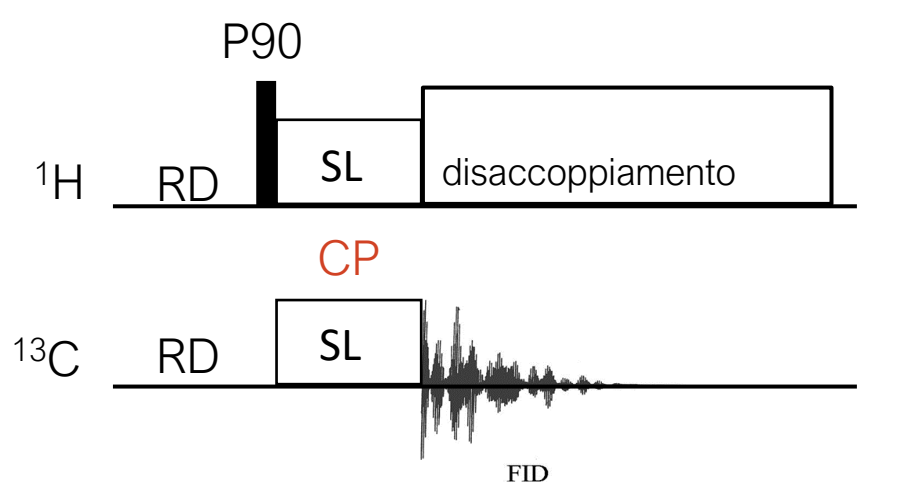
0

100

 δ /ppm

Centro Interdipartimentale Grandi Strumenti CINOIIANTA

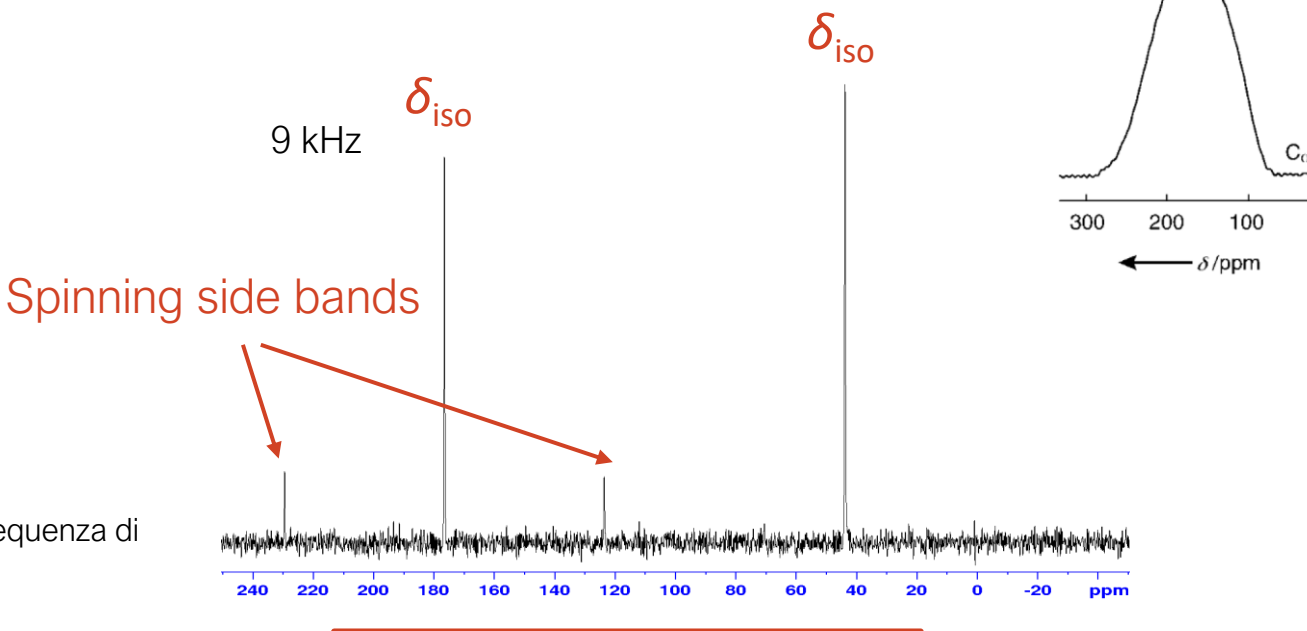




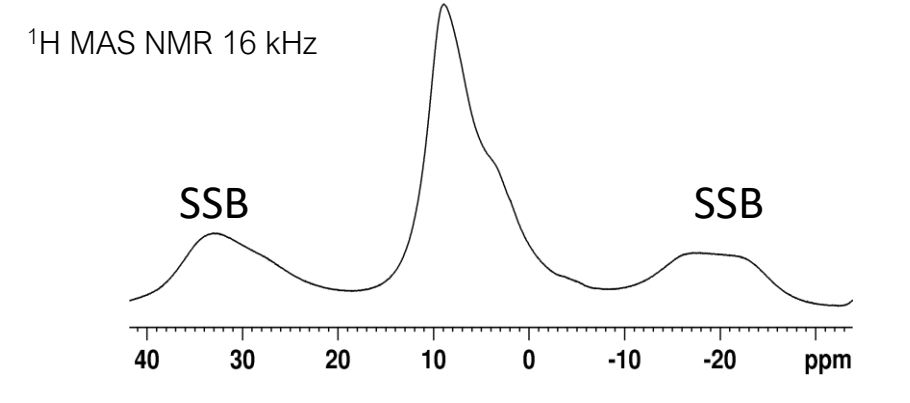
¹H e ¹³C o X irradiati durante il tempo di contatto imponendo la stessa frequenza di nutazione (stesso P90)

In qualche ms si ha il trasferimento di polarizzazione da ¹H vicino a ¹³C o X e aumento S/N.

RD dipende da T₁ ¹H



Spettro ¹³C in alta risoluzione (glicina non arricchita)





10:1

Campo farmaceutico

HN? Distinzione fra polimorfi o solvati 8/10 7/9 Z simmetria di simmetria 25 200 175 150 50 ppm

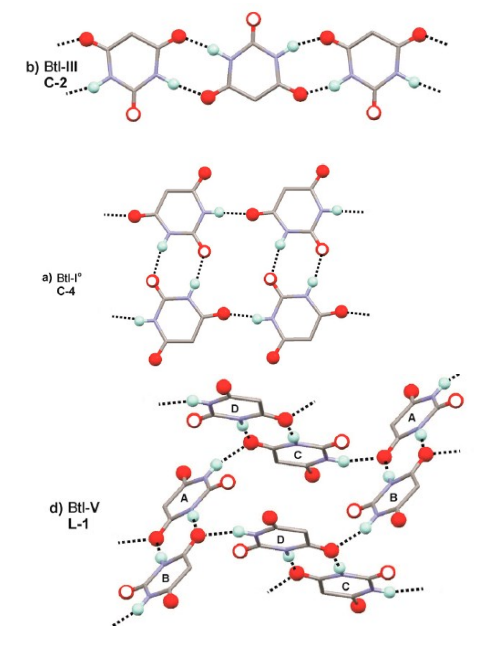
Esempio: 3 dei 6 polimorfi del Barbital

N. Zencirci et al. Mol. Pharmaceutics 2014, 11, 1, 338-350

unità asimmetrica: mezza molecola, con piano di

unità asimmetrica: una molecola, senza piano

unità asimmetrica: quattro molecole



il legame a idrogeno sposta i segnali dei C=O a sx

Studi di miscele (preparazioni)



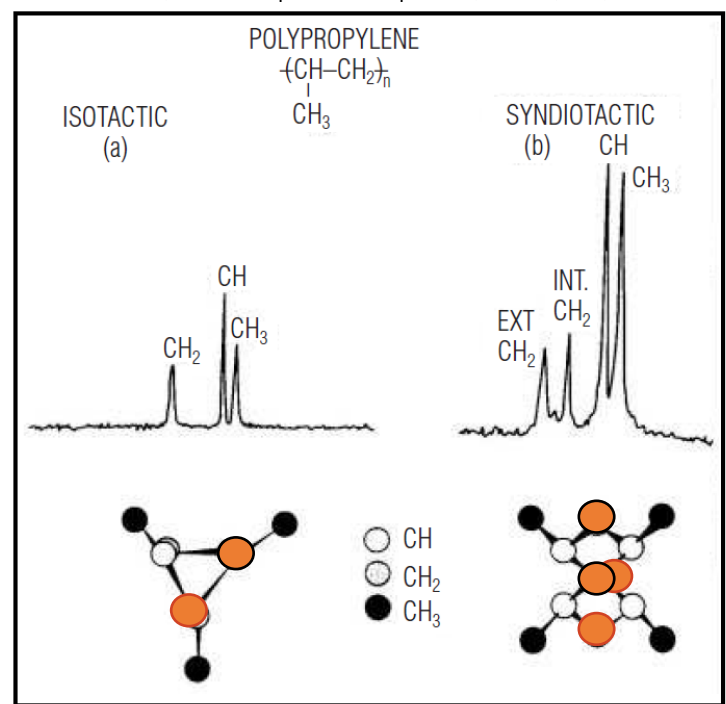


Polimeri

Studio della tatticità in polimeri insolubili: ¹³C CP NMR{¹H}

Conseguenza della diversa cfm: gtgtgt per i-PP e ttggttgg per s-PP

A.E. Tonelli, Ann. Rep. NMR Spectr., 1997, 34, 185



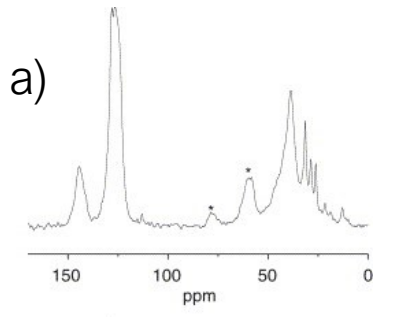
CH₂ sopra

CH₂ sotto

Differenze spettrali per i diversi impaccamenti

Polimeri cristallini: righe ^{13}C strette Polimeri in fase vetrosa: righe ^{13}C larghe, distribuzione di δ

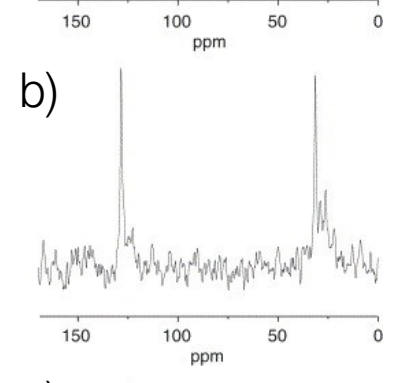
Polimeri gommosi: righe 13 C strette, media dei δ



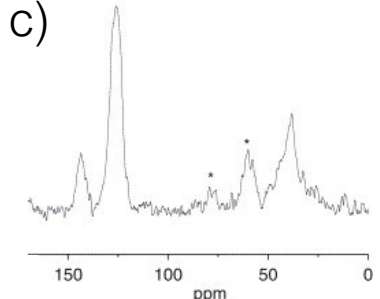
Polimero a blocchi SBS

Differenze spettrali per le diverse fasi

a) spettro ¹³C CP complessivo



b) blocco butadienico, mobile (r.t. spin-lock 30 ms)



c) blocco stirenico, rigido (233 K, spin-lock 12 ms)

Ferrini et al. Solid State NMR 2005, 27, 215



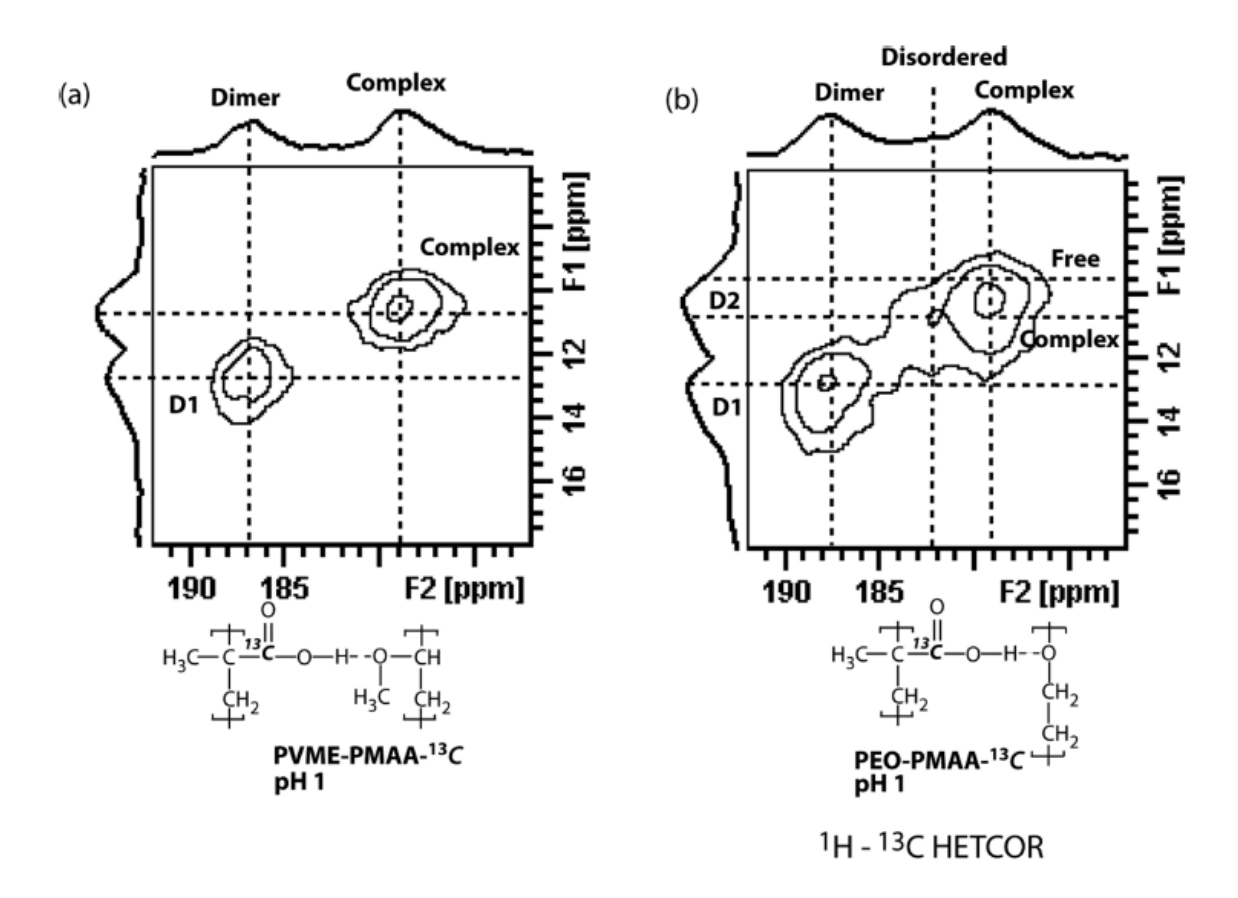
Chimiche e Geologiche

Studi di dinamica molecolare (T_1 e $T_{1\rho}$)





Interazioni inter-catena in miscele di polimeri



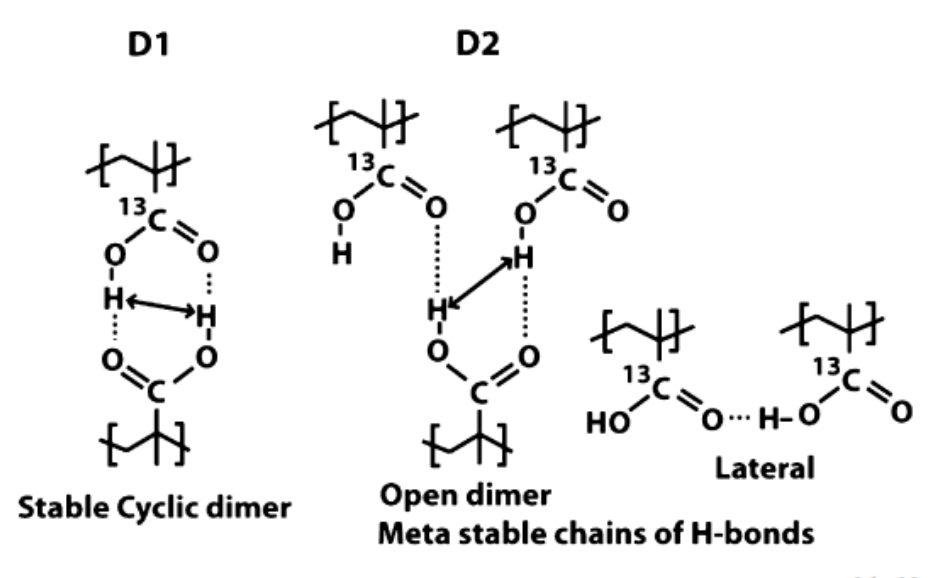
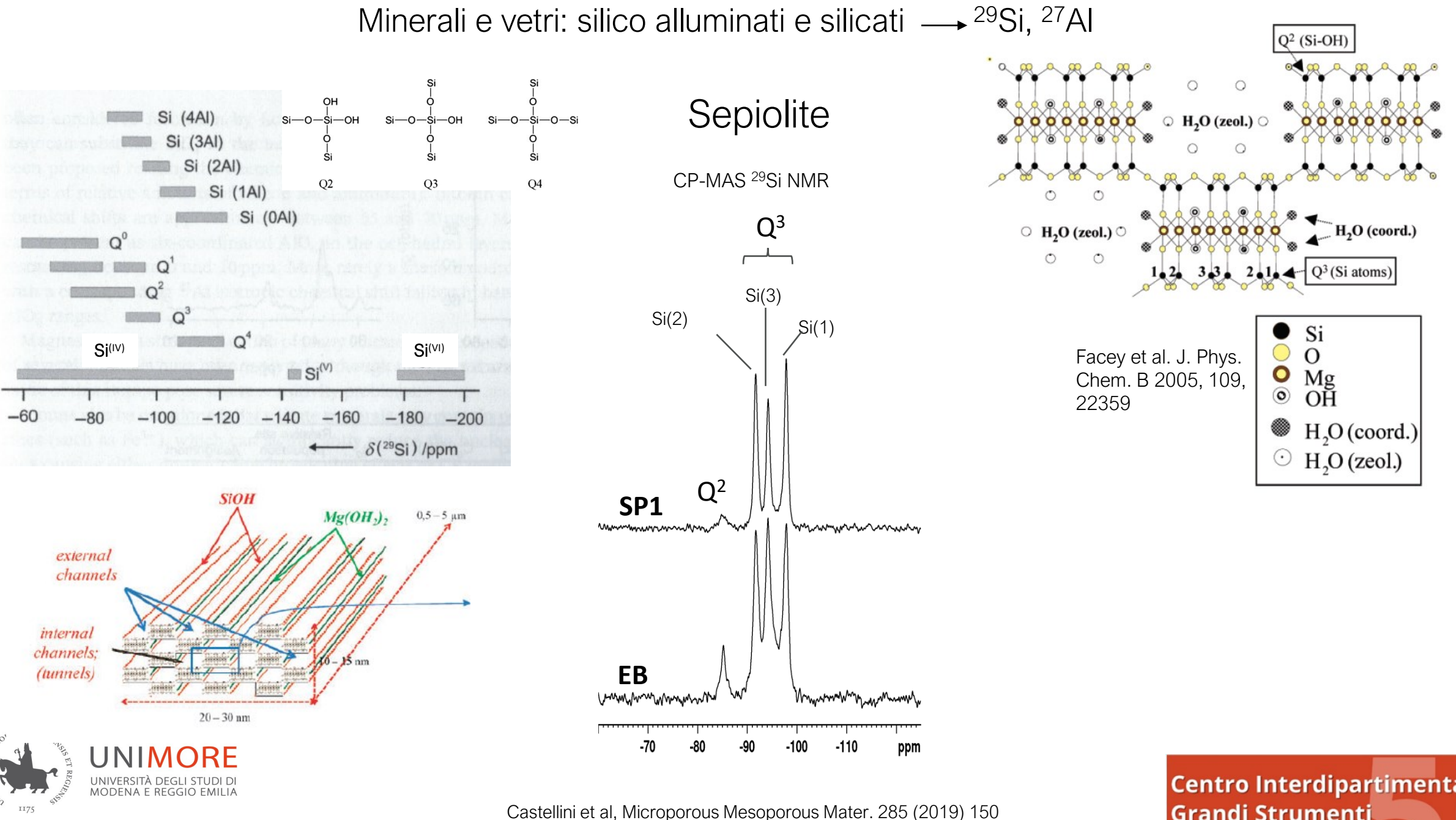


Figure 3. Possible hydrogen bonded structures within PMAA.²⁶⁻²⁸

Fortier-McGill et al. Macromolecules 2012, 45, 6015-6026







Castellini et al, Microporous Mesoporous Mater. 285 (2019) 150

Adele Mucci - Cinquantennale CIGS - Modena, 8 novembre 2024

Dipartimento di scienze

Chimiche e Geologiche

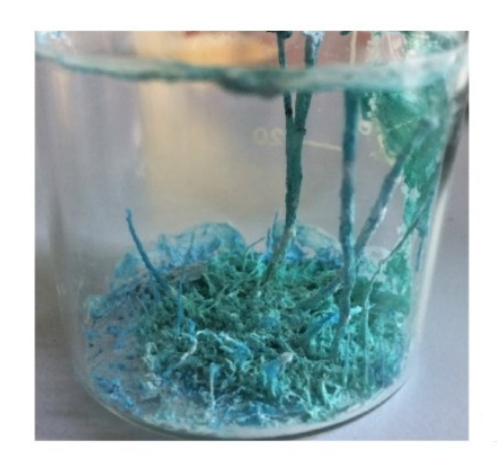


Dipartimento di scienze

Chimiche e Geologiche

Centro Interdipartimentale Grandi Strumenti CINQUANTA

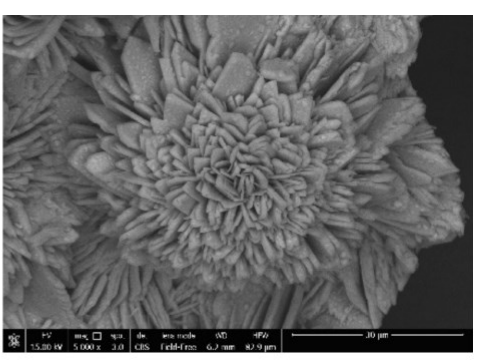
● OH ● OH₂: coordinated water ○H₂O: zeolitic water



Chemical garden

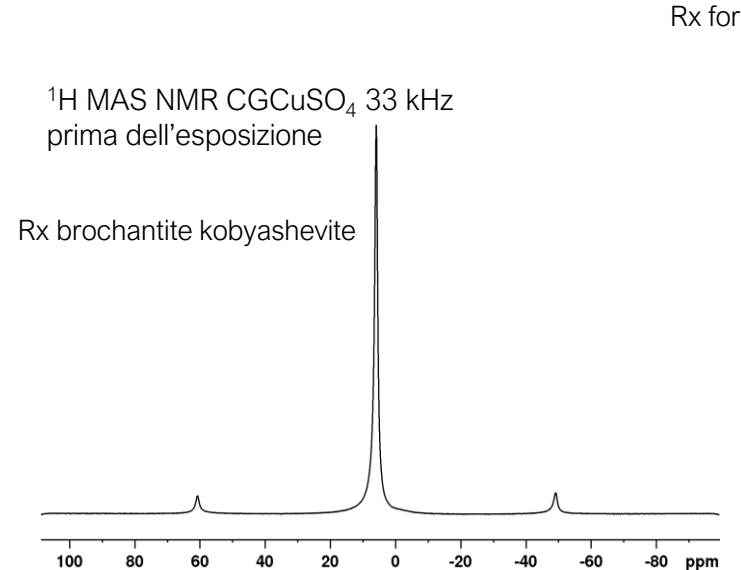
 $Na_2Si_2O_5 + CuSO_4$

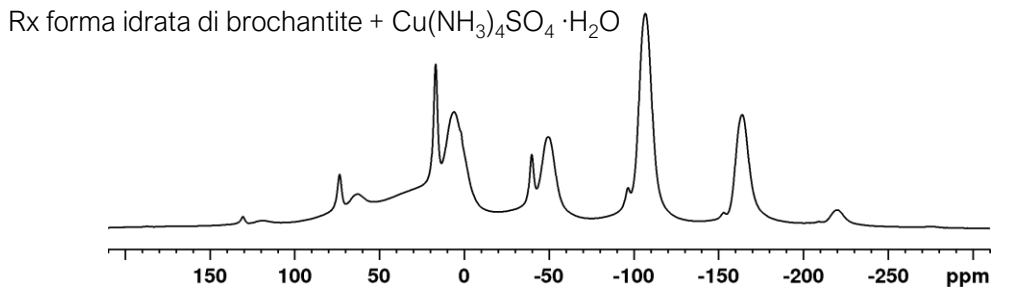


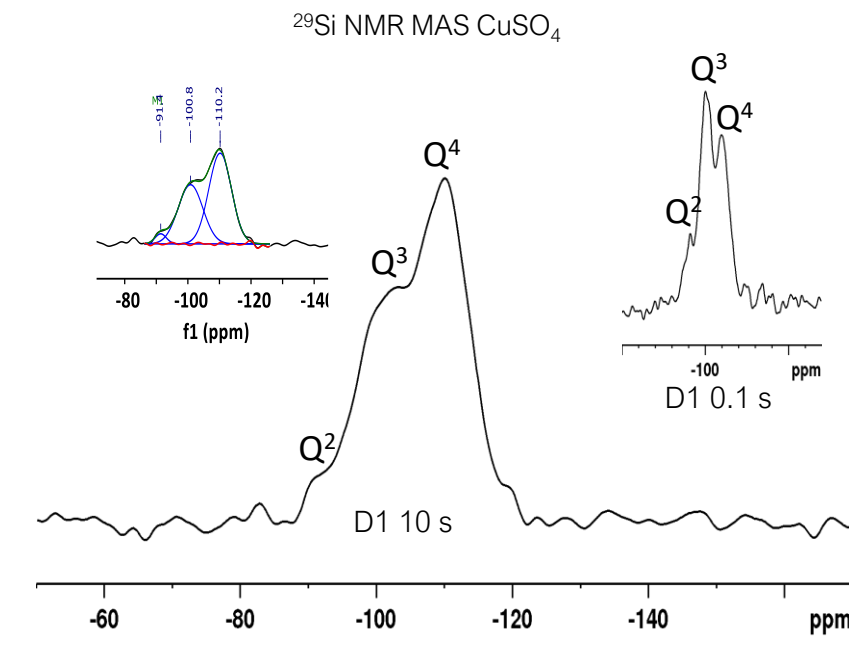


Castellini et al. ChemSystemsChem 2022, 4, e202100034

¹H MAS NMR CGCuSO₄ esposto a NH₃ 33 kHz



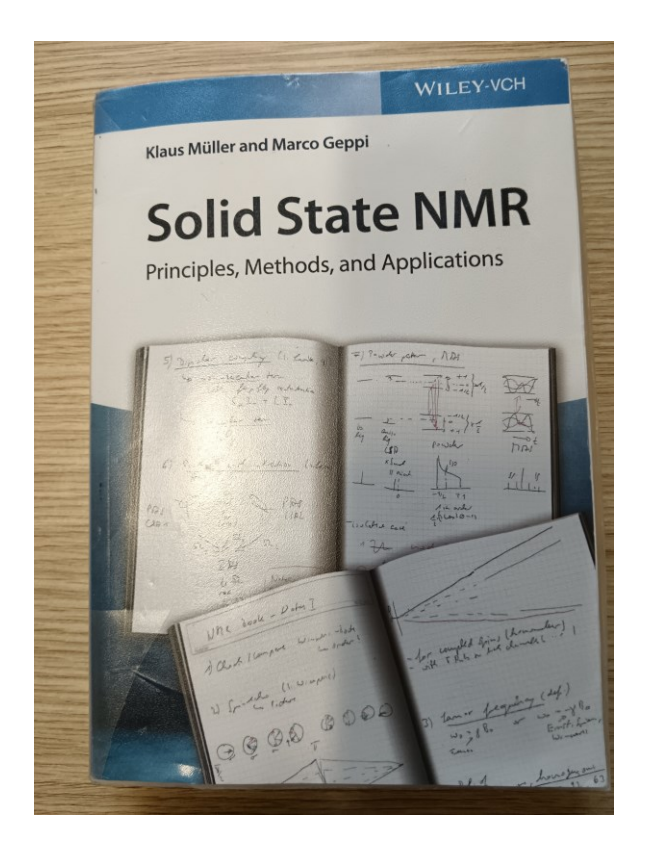






Dipartimento di scienze Chimiche e Geologiche



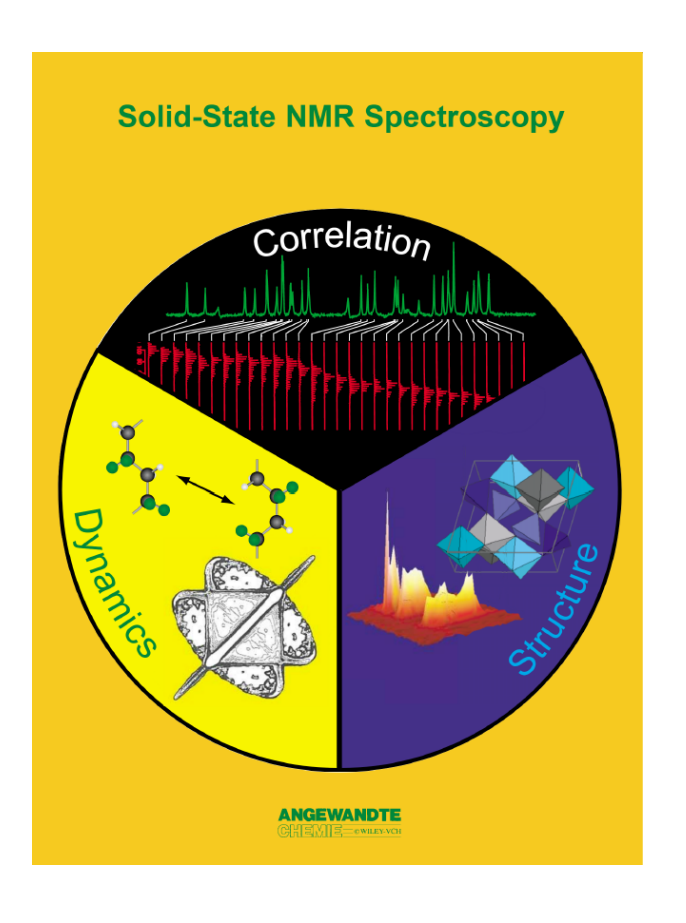






Solid-State NMR Spectroscopic Methods in Chemistry David D. Laws, Hans-Marcus L. Bitter, and Alexej Jerschow*

Angew. Chem. Int. Ed. 2002, 41, 3096-3129



Adele Mucci - Cinquantennale CIGS - Modena, 8 novembre 2024